

ارزیابی قابلیت داده‌های SPOT5-HRG به منظور برآورد تراکم درختان در جنگلهای زاگرس شمالی (مطالعه موردی: جنگلهای شهرستان بانه)

مهتاب پیرباوقار^{۱*}، لقمان قهرمانی^۲ و پرویز فاتحی^۳

- ^۱- نویسنده مسئول، استادیار، دانشکده منابع طبیعی، دانشگاه کردستان، سنتندج. پست الکترونیک: mahtab_bavaghar@yahoo.com
- ^۲- استادیار، دانشکده منابع طبیعی، دانشگاه کردستان، سنتندج.
- ^۳- کارشناس ارشد پژوهش، مرکز تحقیقات کشاورزی و منابع طبیعی استان کردستان، سنتندج.

تاریخ پذیرش: ۸۹/۹/۲۶

تاریخ دریافت: ۸۷/۱۲/۴

چکیده

با توجه به ساختار منحصر به فرد جنگلهای زاگرس، در این مطالعه سعی شده تا با استفاده از تصاویر ماهواره SPOT5-HRG امکان برآورد تراکم درختان در بخشی از جنگلهای بانه مورد بررسی قرار گیرد. به منظور جمع آوری داده‌های زمینی یک شبکه آماربرداری به روش منظم با نقطه شروع تصادفی، شامل ۳۱۲ قطعه نمونه دایره‌ای شکل ۰/۱ هکتاری در عرصه پیاده شد. پس از پردازش تصویر، ارزش‌های متناظر قطعات نمونه زمینی از تصاویر اصلی و باندهای حاصل از شاخص‌های گیاهی و مؤلفه‌های حاصل از تجزیه مؤلفه‌های اصلی، استخراج شدند. با استفاده از تحلیل رگرسیونی چندمتغیره و روش گام به گام رابطه بین مشخصه تعداد در هکتار به عنوان متغیر وابسته و ۱۶ باند مصنوعی به عنوان متغیرهای مستقل بررسی شد. امکان واردسازی داده‌های کمکی شبیب، ارتفاع و جهت جغرافیایی به مدل نیز بررسی گردید، اما نتایج معنی‌داری حاصل نشد. با وجود این، ارائه مدل رگرسیونی به تفکیک جهت‌های جغرافیایی سبب تغییراتی در نتایج گردید. در مدل کلی پیشنهادی برای جنگلهای مورد مطالعه، متغیرهای مستقل شامل مؤلفه دوم حاصل از تجزیه مؤلفه‌های اصلی (PCA2) و طول موج قرمز (B2) می‌باشند ($R^2 \text{ adj} = 0/26$ ، $\text{RMSE} = 57/4\%$). در مدل پیشنهادی برای جنگلهای دامنه‌های شمالی، جنوبی، شرقی و غربی، متغیرهای مستقل به ترتیب شامل PCA2 و شاخص گیاهی Ratio، PCA2 و شاخص گیاهی AVI، باند B1 (طول موج سبز)، شاخص‌های گیاهی PVI و AVI و طول موج مادون قرمز نزدیک (B3) و ضریب تبیین اصلاح شده بین ریشه دوم تعداد در هکتار و متغیرها به ترتیب برابر $0/31$ ، $0/19$ ، $0/34$ و $0/42$ می‌باشند. نتیجه سنجش اعتبار مدل‌های پیشنهادی حکایت از مناسب بودن مدلها دارد، اما به دلیل کم بودن ضریب تبیین مدل‌ها، به منظور برآورد بهتر مشخصه تعداد در هکتار، باید راهکارهای دیگر را نیز دنبال نمود.

واژه‌های کلیدی: تراکم درخت، SPOT5، رگرسیون چندمتغیره، جنگلهای زاگرس شمالی.

روندهای تحوّلات کمی و کیفی این جنگلها قهقرایی می‌باشد (فتاحی، ۱۳۷۳). مدیریت پایدار و استفاده صحیح از منابع جنگلی نیازمند داشتن اطلاعات دقیق از این جنگلهای است. مشخصه‌های کمی یک توده جنگلی همانند حجم، زی توده، متوسط قطر و ارتفاع توده، تعداد در هکتار، میزان تاجپوشش، سطح مقطع و سن، داده‌های با ارزشی

مقدمه جنگلهای زاگرس که وسیع‌ترین جنگلهای ایران به شمار می‌روند به علت نقشی که در ذخیره آبهای زیرزمینی، حفاظت خاک و سایر ارزش‌های اجتماعی-اقتصادی دارند، از اهمیت بهسزایی برخوردار می‌باشند. متأسفانه به دلیل دخل و تصرفهای فراوان و غیراصولی،

که به ترتیب مشخصه‌های متوسط ارتفاع، سن، رویه زمینی و قطر در باندهای مختلف بهترین نتیجه را حاصل نمودند، ولی تعیین تراکم درختان در این منطقه با استفاده از این تصاویر نتایج قابل قبولی را ارائه نداد. Sivanpillai *et al.* (2006) با استفاده از داده‌های سنجنده ETM+ ماهواره Landsat7 و روش رگرسیون چندمتغیره، سن و تراکم توده را برآورد نمودند. مدل رگرسیونی با باندهای ۱، ۴ و ۷ به عنوان متغیرهای مستقل، نسبت به ترکیبات باندی دیگر برآورده بود. مدل رگرسیونی توode ارائه داد ($R^2 = .60$). افزودن باندهای مصنوعی شامل شاخص‌های گیاهی NDVI، ETM4/ETM3 و مؤلفه‌های روشانی و رطوبت حاصل از تبدیل تسلیک به بهترین مدل رگرسیونی حاصل شده از باندهای اصلی، بهبودی در نتایج حاصل ننمود. Mohammadi & Shataee (2007) به بررسی رابطه بین تراکم توده جنگلی و ارزش‌های طیفی سنجنده ETM+ ماهواره Landsat7 پرداختند. رگرسیون چندمتغیره با باندهای ۴ و ۵ بهترین نتیجه را ارائه داد ($R^2 = .73/4$). افزودن مشخصه شیب به نتایج حاصل سبب بهبود نتایج شد ($R^2 = .79$). Vohland *et al.* (2007) از تصویر ماهواره‌ای سنجنده TM به منظور برآورد تعداد درخت در هکتار استفاده نمودند. از میان باندهای اصلی، باند مادون قرمز میانی ($R^2 = .58$) و از بین شاخص‌های مختلف گیاهی شاخص NDVI ($R^2 = .76$) برآورده بود. از تعداد در هکتار ارائه دادند. استفاده از تجزیه و تحلیل طیفی خطی و رگرسیون چندمتغیره نتایج بهتری را نسبت به شاخص‌های گیاهی ارائه نمود ($R^2 = .85$). Hudak *et al.* (2006) با استفاده همزمان از داده‌های چندطیفی ماهواره‌ای و داده‌های Lidar، توانستند مدل‌های رگرسیونی مورد قبولی ($R^2 = .90$) را برای سطح مقطع و تراکم درختان سوزنی برگ ارائه دهند.

با وجود این که تحقیقات زیادی در طول دهه‌های گذشته در این زمینه انجام شده، اما نتیجه‌گیری درباره رابطه بین مشخصه‌های توده جنگلی و انعکاس‌های طیفی،

هستند که برای ارزیابی منابع جنگلی اهمیت بهسزایی دارند.

به‌طور سنتی، اطلاعات آماربرداری با استفاده از عملیات میدانی، تفسیر عکس‌های هوایی و یا ترکیبی از این روشها انجام می‌شود (Sivanpillai *et al.*, 2006). این روشها، پژوهشی و زمانبر می‌باشند و همچنین احتیاج به نیروی کار زیادی دارند (Trotter *et al.*, 1997). استفاده از فناوری سنجش از دور در موقعی که داده‌های ماهواره‌ای با مشخصه‌های اندازه‌گیری شده زمینی همبستگی خوبی داشته باشد، گامی مهم در جهت کاهش هزینه‌های آماربرداری و پایش جنگل است.

در زمینه برآورده برخی از مشخصه‌های کمی توده از داده‌های ماهواره‌ای با استفاده از روش‌های مختلف رگرسیونی و همبستگی، مطالعات زیادی تاکنون انجام شده است (Andersen, 1998; Trotter *et al.*, 1997; Mohammadi & Shataee, 2007; McRoberts, 2008; خرمی و همکاران، ۱۳۸۶؛ عزیزی، ۱۳۸۷). برای ایجاد یک رابطه صحیح بین پوشش جنگل و داده‌های ماهواره‌ای، درک چگونگی ارتباط بین تصاویر ماهواره‌ای و مشخصه‌های توده جنگلی ضروریست (Franklin, 1986; Wulf *et al.*, 1990; Lu *et al.*, 2004). مشخصه تعداد در هکتار درخت یکی از مشخصه‌های مهم در آماربرداری توده است.

Wulf *et al.* (1990) در تحقیقی به بررسی امکان برآورده مشخصه‌های کمی توده جنگلی با استفاده از SPOT1 داده‌های چند طیفی و پانکروماتیک ماهواره پرداختند. نتایج آنها نشان داد که باندهای سبز و قرمز این ماهواره برای برآورده مشخصه‌های کمی از قابلیت مطلوبی برخوردار نبودند، در حالی که استفاده از باند پانکروماتیک Donoghue & Watt SPOT1 نتایج خوبی را نشان داد. (2002) به منظور برآورده مشخصه‌های ارتفاع، قطر، رویه زمینی، سن و تراکم در سطح توده از تصاویر ماهواره‌ای SPOT4 و SPOT7 استفاده نمودند. به‌طوری

عبارة تند از: ویول (*Quercus libani* Oliv.), برودار (*Quercus brantii* Lindl.) و مازودار (*infectoria* Oliv.). گونه‌های درختی همراه در ترکیب این جنگلها عبارتند از: زالزالک وحشی (*Crataegus* spp.), گلابی وحشی (*Pyrus* spp.), کیکم (*Pistacia atlantica*) و بنه (*Acer monspessulanum*). فرم کلی رویشی جنگل‌های منطقه، شاخه‌زاد کهن (درختان تک‌پایه) و دانه و شاخه‌زاد (شاخه‌زاد کهن) می‌باشد. وضعیت منطقه از نظر تراکم تاج‌پوشش تنک، متوسط تا نیمه‌انبوه و تاج‌پوشش منطقه حدود ۳۵ تا ۴۰ درصد است.

داده‌های مورد استفاده

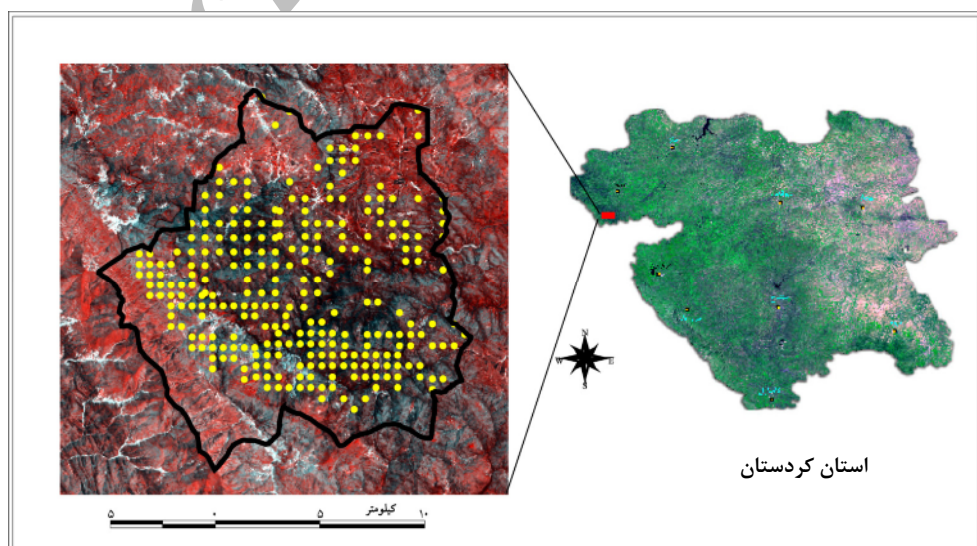
داده‌های ماهواره‌ای شامل یک فریم از تصویر سنجنده HRG ماهواره SPOT5 مربوط به تاریخ نهم جولای سال ۱۳۸۴ هجری خورشیدی، با اندازه تفکیک مکانی ۱۰ متر در باندهای سبز، قرمز و مادون قرمز نزدیک و ۲۰ متر در باند مادون قرمز میانی بود. دو برگ نقشه توپوگرافی ۱:۵۰۰۰۰ شماره-I ۵۱۶۱ و IV ۵۱۶۱-۱ بازیاد ن نقشه‌های جهت، شبیب، ارتفاع و همچنین بررسی میزان صحت هندسی تصاویر رقومی شدند.

با توجه به خصوصیات مناطق مورد مطالعه متفاوت بوده است (Lu et al., 2004). با توجه به ساختار منحصر به فرد جنگل‌های زاگرس و از آن جا که تاکنون تحقیقی در مورد برآورد مشخصه تعداد درخت در هکتار با استفاده از تصاویر ماهواره‌ای در این جنگلها انجام نشده، در این مطالعه تلاش شده تا با استفاده از تصاویر ماهواره SPOT5-HRG، امکان برآورد این مشخصه در بخشی از جنگل‌های بانه مورد بررسی قرار گیرد. امکان تأثیر داده‌های کمکی ارتفاع، شبیب و جهت جغرافیایی بر بهبود نتایج مدل نیز مورد بررسی قرار گرفت. همچنین مدل‌های برآورد کننده تراکم درخت به تفکیک جهات مختلف جغرافیایی نیز ارائه شد.

مواد و روش‌ها

منطقه مورد مطالعه

منطقه مورد مطالعه با مساحت ۱۵۷۰۰ هکتار در زاگرس شمالی در استان کردستان و غرب ایران ("۱۵° ۵۵' تا "۳۵° ۴۵' عرض شمالی و "۵۵° ۴۰' تا "۴۵° ۵۰' طول شرقی) واقع شده است (شکل ۱). ارتفاع از سطح دریا بین ۱۲۰۰ تا ۲۲۰۰ متر متغیر است. گونه‌های اصلی تشکیل دهنده جنگل‌های مورد مطالعه



شکل ۱- موقعیت منطقه مورد مطالعه در استان کردستان و قطعات نمونه در منطقه

شهری در دسترس بودند)، حکایت از دقت هندسی بسیار خوب داده‌ها داشت. به منظور اطمینان و بررسی وضعیت هندسی داده‌ها، از بخشی از جاده‌های بخش غربی منطقه که قبلاً در قالب تحقیقی دیگر از طریق عملیات میدانی برداشت شده بودند نیز استفاده شد. انطباق خوب لایه راه‌ها بر روی داده‌های ماهواره‌ای نشان دهنده تطابق هندسی مناسب داده‌های ماهواره‌ای با نقشه و عدم لزوم تصحیح هندسی آن بود. با مشاهده هیستوگرام تک‌باندها و بررسی مشخصه‌های آماری مانند میانگین و انحراف معیار، توزیع نرمال داده‌ها تشخیص داده شد.

در راستای استخراج هر چه بهتر اطلاعات، تصاویر ماهواره‌ای مورد پردازش‌هایی قرار می‌گیرند. تهیه شاخص‌های مختلف گیاهی و تجزیه مؤلفه‌های اصلی نیز بدین منظور می‌شوند. قبل از شروع محاسبات، به منظور همسان‌سازی اندازه سلول، اندازه سلول باند مادون قرمز میانی نیز به ۱۰ متر تبدیل گردید. معمولاً از تجزیه مؤلفه‌های اصلی برای فشرده‌سازی اطلاعات چند باند در یک باند استفاده می‌شود (Sivanpillai *et al.*, 2006). شاخص‌های گیاهی و باندهای حاصل از تجزیه مؤلفه‌های اصلی (PCA) مورد استفاده در این تحقیق به ترتیب زیر می‌باشند: PVI، SAVI، NDVI، AVI، DVI، RVI₃، RVI₂، PVI₁، WDV₁، TVI، NRVI، PCA1 و PCA2 (مؤلفه‌های اول و دوم حاصل از تجزیه مؤلفه‌های اصلی ۴ باند؛ PCA1-2 و PCA3-4) (مؤلفه‌های اول حاصل از تجزیه مؤلفه‌های اصلی باندهای ۱ و ۲ و باندهای ۳ و ۴).

تجزیه و تحلیل آماری داده‌ها

ابتدا ارزش‌های متناظر قطعات نمونه زمینی از تصاویر اصلی و باندهای حاصل از شاخص‌های گیاهی و مؤلفه‌های حاصل از تحلیل PCA، استخراج شدند. متوسط

روش تحقیق

برداشت قطعات نمونه زمینی

به منظور جمع‌آوری داده‌های زمینی، یک شبکه آماربرداری به روش منظم با نقطه شروع تصادفی در عرصه پیاده شد. با توجه به هدف مطالعه و مساحت منطقه، ۳۱۲ قطعه نمونه دایره‌ای شکل ۰/۱ هکتاری در تابستان ۱۳۸۴ برداشت شد. شبکه آماربرداری با ابعاد 550×550 متر برای جنگل مورد مطالعه طراحی گردید. بازبینی مراکز قطعات نمونه زمینی با استفاده از سامانه موقعیت‌یاب جهانی (GPS) بر روی زمین انجام (شکل ۱) و تعداد درختان داخل هر قطعه نمونه یادداشت شد (قطراهای بیشتر از ۵ سانتی‌متر مورد شمارش قرار گرفتند).

پردازش اولیه تصاویر و ایجاد شاخص‌های گیاهی

تصحیحات هندسی و رادیومتری تصاویر ماهواره‌ای برای بسیاری از تحقیقات ضروریست (Lu *et al.*, 2004). تصویر ماهواره‌ای SPOT5-HRG مورد استفاده، توسط شرکت عرضه کننده (SPOT Image) از نظر رادیومتری و هندسی در سطح Ortho (تصحیح هندسی همراه با رفع اثر جابجایی ناشی از پستی و بلندی) مورد تصحیح قرار گرفته بود. بنابراین به منظور اطمینان از عدم وجود خطاء، پس از نمایش تک باندها و ترکیبات مختلف رنگی بر روی صفحه مانیتور به کمک بزرگنمایی آنها در قسمت‌های مختلف، تصویر به لحاظ خطاهای رادیومتری مانند راه راه شدگی (Striping & Banding)، خطای زیر هم قرار نگرفتن دسته‌های خطوط اسکن و پیکسل‌های دوبله مورد بررسی قرار گرفت و هیچ کدام از موارد یادشده در آن مشاهده نشد. همان طور که ذکر شد، تصحیح هندسی تصاویر در سطح اورتو بوده و دارای دقت زیادی می‌باشد. از آن جا که نقشه‌های بزرگ مقیاس برای این منطقه موجود نبود، بررسی دقت مناطق مجاور این منطقه (که نقشه ۱:۲۵۰۰۰ منطقه و یا نقشه‌های بزرگ مقیاس‌تر

اعتبارسنجی مدل‌ها

به منظور اعتبارسنجی مدل‌ها، حدود ۱۰ درصد از قطعات نمونه (۳۱ قطعه نمونه) به طور تصادفی انتخاب و برای احراز اعتبار مدل‌های پیشنهادی کنار گذاشته شدند. این قطعات نمونه در تعیین میزان همبستگی و نیز تجزیه و تحلیل رگرسیونی مورد استفاده قرار نگرفتند.

اعتبارسنجی مدل‌ها به روشهای مختلفی انجام می‌شود؛ در این تحقیق با استفاده از داده‌های قطعات نمونه شاهد، مدل‌های مناسب براساس کمتر بودن مقدار RMSE و آزمون معنی‌دار بودن t برای اریبی (Bias) براساس جدول t_Student انجام شد.

نتایج

آمار توصیفی تراکم درختان

متوسط تعداد درخت در هکتار (تراکم) در جنگلهای مورد بررسی ۳۴۲ اصله و در دامنه‌های شمالی، جنوبی، شرقی و غربی به ترتیب ۱۱، ۴۱، ۳۱۳، ۳۰۱ و ۳۲۴ اصله است (جدول ۱).

شیب، جهت و ارتفاع قطعات نمونه نیز استخراج شدند. سپس از تجزیه و تحلیل رگرسیونی چندمتغیره با استفاده از روش گام به گام به منظور تحلیل رابطه بین مشخصه تعداد در هکتار (به دلیل نتایج بهتر از ریشه دوم این مشخصه استفاده شد) به عنوان متغیر وابسته و ۴ باند اصلی و ۱۶ باند مصنوعی به عنوان متغیرهای مستقل و همچنین داده‌های کمکی شیب، جهت و ارتفاع استفاده شد.

تحلیل رگرسیونی گام به گام، مجموعه‌ای از متغیرهای مستقلی را که بیشترین تغییرات متغیر وابسته را توجیه می‌کنند، انتخاب می‌کند (Sivanpillai *et al.*, 2006). بهترین مدل رگرسیونی براساس نتایج تجزیه واریانس رگرسیون (F)، آزمون انفرادی ضرایب رگرسیون، در نظر گرفتن معیارهای خطای برآورد (MSE) و اریبی (Bias) و سنجش اعتبار مدل انتخاب شد. نتایج حاصل وقتی معتبر و دارای مفهوم هستند که فرض‌های مربوط به باقیماندهای مدل رگرسیونی صادق باشند (رضائی و سلطانی، ۱۳۷۷). فرض نرمال بودن توزیع باقیماندها به وسیله نمودار احتمال نرمال و انجام آزمون کلموگروف- اسمیرنوف بررسی گردید. ابتدا ارائه مدل‌های رگرسیونی برای کل منطقه و سپس به تفکیک جهت‌های جغرافیایی انجام شد.

جدول ۱- آمار توصیفی مشخصه تعداد در هکتار در کل منطقه و به تفکیک جهت‌های جغرافیایی

جهت جغرافیایی	میانگین	انحراف از معیار	حداکثر	حداقل
کل قطعات نمونه (n=۳۱۲)	۳۴۲	۲۱۰	۱۲۷۰	۱۰۰
جهت شمالی (n=۹۶)	۴۱	۲۷۴	۱۲۷۰	۱۰۰
جهت جنوبی (n=۷۸)	۳۱۳	۱۶۷	۹۳۰	۱۰۰
جهت شرقی (n=۷۶)	۳۰۱	۱۴۶	۶۵۰	۱۲۰
جهت غربی (n=۶۲)	۳۲۴	۱۹۱	۹۶۰	۱۰۰

بودن مدل خطی در برآذش مدل رگرسیونی با اطمینان ۹۹ درصد رد می‌شود ($F=50/29$ و $P<0/01$) (جدول ۲). فرض مساوی صفر بودن ضرایب رگرسیون و عرض از مبدأ مدل در سطح ۱ درصد رد شد (جدول ۲). نتیجه آزمون تکنمونه‌ای کولموگروف- اسمیرنوف نشان‌دهنده نرمال بودن توزیع خطاهای (باقیمانده‌ها) است ($P=0/100$). آزمون معنی‌دار بودن t برای اریبی (Bias) براساس جدول t _Student نشان داد که در مدل ارائه شده میزان اریبی معنی‌دار نبوده و بنابراین قابل قبول می‌باشد.

برآورد تراکم درختان با استفاده از تحلیل مدل رگرسیونی

- مدل کلی پیشنهادی برای جنگلهای مورد مطالعه بدون لحاظ نمودن جهت جغرافیایی

در مدل پیشنهادی برای جنگلهای مورد مطالعه، متغیرهای پیشگویی کننده شامل مؤلفه دوم حاصل از تجزیه مؤلفه اصلی (PCA2) و B2 (طول موج قرمز) است. ضریب تبیین اصلاح شده (R^2_{adj}) بین ریشه دوم تعداد در هکتار و متغیرهای مذکور $0/26$ می‌باشد. براساس نتایج تجزیه واریانس رگرسیون، فرضیه نامناسب

جدول ۲- ضرایب رگرسیونی و خطای معیار مدل کلی پیشنهادی برای جنگلهای مورد مطالعه

ضرایب مدل	برآورد ضرایب	SE	t	P	Beta
b_0	۴۰/۷۹۹	۳/۲۰۵	۱۲/۷۳۱	$<0/01$	-
b_1	-۰/۱۶۸	۰/۰۲۹	-۵/۸۶۹	$<0/01$	-۰/۳۵۱
b_2	-۰/۱۲۷	۰/۰۳۲	-۳/۹۸۰	$<0/01$	-۰/۲۳۸

SQRT(N) = $b_0 + b_1PCAC2 + b_2B2$

$F=50/294$ $P<0/01$ $MSE=19/86$ $R^2_{adj}=0/26$ $n=281$

$RMSE=222 \text{ tree/ha}$ $RMSE_r=0.57/4$ $Bias=-20 \text{ tree/ha}$ $Bias=-0.6/24$

$t=-10.1/48$

می‌کند ($F=19/622$ و $P<0/01$). فرض مساوی صفر بودن ضرایب رگرسیون و عرض از مبدأ مدل در سطح ۱ درصد رد شد (جدول ۳). نتیجه آزمون تکنمونه‌ای کولموگروف- اسمیرنوف نشان‌دهنده نرمال بودن توزیع خطاهای (باقیمانده‌ها) است ($P=0/189$). آزمون معنی‌دار بودن t برای اریبی (Bias) براساس جدول t _Student نشان داد که در مدل ارائه شده میزان اریبی معنی‌دار نبوده و قابل قبول می‌باشد.

- مدل پیشنهادی برای جهت شمالی

در مدل پیشنهادی برای جنگلهای دامنه‌های شمالی، متغیرهای مستقل (پیشگویی کننده) شامل Ratio PCA2 و (NIR/R) است. ضریب تبیین اصلاح شده بین ریشه دوم تعداد در هکتار و متغیرهای مذکور $0/31$ می‌باشد. براساس نتایج تجزیه واریانس رگرسیون، فرضیه نامناسب بودن مدل خطی در برآذش مدل رگرسیونی با اطمینان ۹۹ درصد رد می‌شود و مدل ارتباط متغیرهای پیشگویی کننده را با ریشه دوم تعداد در هکتار به‌طور معنی‌داری بیان

جدول ۳- ضرایب رگرسیونی و خطای معیار مدل پیشنهادی برای جنگلهای شمالی

ضرایب مدل	برآورد ضرایب	SE	t	P	Beta
b_0	۱۱۸/۲۹۸	۳۲/۷۴۱	۳/۶۱۳	<0/01	-
b_1	-۴۷/۷۳۳	۱۸/۴۶۶	-۲/۵۸۵	<0/01	-1/۰۰۲
b_2	-۰/۹۲۱	۰/۲۴۰	-۳/۸۴۴	<0/01	-1/۴۹۱

$SQRT(N) = b_0 + b_1 \text{Ratio} + b_2 \text{PCAC2}$
 $F = ۱۹/۶۲ \quad P < 0/01 \quad R^2_{\text{adj}} = ۰/۳۱ \quad n = ۸۶$
 $\text{RMSE} = ۲۳۳ \text{ tree/ha} \quad \text{RMSE}_t = ۰/۶۱/۸ \quad \text{Bias} = -۲۷ \text{ tree/ha} \quad \text{Bias} = -۰/۷/۲۱$
 $t = -۴۷/۷۷$

مدل رگرسیونی با اطمینان ۹۹ درصد رد می‌شود و مدل ارتباط متغیرهای پیشگویی کننده را با ریشه دوم تعداد در هکتار به طور معنی‌داری بیان می‌کند ($P < 0/01$) و $F = ۱۸/۶۳۲$ (جدول ۴). فرض مساوی صفر بودن ضرایب رگرسیون و عرض از مبدأ مدل در سطح ۱ درصد رد شد (جدول ۴). نتیجه آزمون تکنمونه‌ای کولموگروف- اسمیرنوف نشان دهنده نرمال بودن توزیع خطاهای (پاقیمانده‌ها) است ($P = ۰/۹۲۷$).

- مدل پیشنهادی برای جهت جنوبی

در جهت جنوبی، ریشه دوم تعداد در هکتار بیشترین همبستگی را با PCA2 ($r = ۰/۵۴$) دارد. در مدل پیشنهادی برای جنگلهای جنوبی متغیرهای مستقل (پیشگویی کننده) شامل شاخص گیاهی (NIR-R AVI) و مؤلفه دوم حاصل از تحلیل مؤلفه‌های اصلی PCA2 است. ضریب تبیین اصلاح شده بین ریشه دوم تعداد در هکتار و متغیرهای مذکور ۰/۳۴ می‌باشد. براساس نتایج تجزیه واریانس رگرسیون، فرضیه نامناسب بودن مدل خطی در برآش

جدول ۴- ضرایب رگرسیونی و خطای معیار مدل پیشنهادی برای جنگلهای جنوبی

ضرایب مدل	برآورد ضرایب	SE	t	P	Beta
b_0	۲۴/۷۴۷	۳/۱۰۶	۷/۹۶۷	<0/01	
b_1	-۰/۱۷۰	۰/۰۴۷	-۳/۵۸۷	<0/01	-0/۳۹۸
b_2	۰/۴۵۸	۰/۱۷۱	۲/۶۷۷	<0/01	0/۲۹۷

$SQRT(N) = b_0 + b_1 \text{PCAC2} + b_2 \text{AVI}$
 $F = ۱۸/۶۳۲ \quad P < 0/01 \quad R^2_{\text{adj}} = ۰/۳۴ \quad n = ۷۰$
 $\text{RMSE} = ۱۲۸ \text{ tree/ha} \quad \text{RMSE}_t = ۰/۴۳/۲ \quad \text{Bias} = -۱۱ \text{ tree/ha} \quad \text{Bias} = -۰/۳/۷۴$
 $t = -۶۷/۴۹$

نتایج تجزیه واریانس رگرسیون، فرضیه نامناسب بودن مدل خطی در برآش مدل رگرسیونی با اطمینان ۹۹ درصد رد می‌شود و مدل ارتباط شاخص B1 را با ریشه

- مدل پیشنهادی برای جهت شرقی

در مدل پیشنهادی برای جنگلهای شرقی، متغیر پیشگویی کننده شامل B1 است ($R^2_{\text{adj}} = ۰/۱۹$). براساس

درصد رد شد (جدول ۵). نتیجه آزمون تکنمونه‌ای کولموگروف- اسمیرنوف نشان‌دهنده نرمال بودن توزیع خطاهای (باقیمانده‌ها) است ($P=0.827$).

دوم تعداد در هکتار به‌طور معنی‌داری بیان می‌کند ($F=16.81$ و $P<0.01$) (جدول ۵). فرض مساوی صفر بودن ضرایب رگرسیون و عرض از مبدأ مدل در سطح ۱

جدول ۵- ضرایب رگرسیونی و خطای معیار مدل پیشنهادی برای جنگلهای شرقی

ضرایب مدل	برآورد ضرایب	SE	t	P	Beta
b_0	۴۷/۷۰۶	۷/۲۶۷	۶/۴۲۷	<0.01	-
b_1	-۰/۲۲۳	۰/۰۵۴	-۴/۱۰۰	<0.01	-۰/۴۵۱
$SQRT(N) = b_0 + b_1 B1$					
$F=16.81 \quad P<0.01 \quad MSE=13.44 \quad R^2_{adj}=0.19 \quad n=78$					
$RMSE=12.9 \text{ tree/ha} \quad RMSE_t=0.44/2 \quad Bias=-1.3 \text{ tree/ha} \quad Bias=-0.4/4.8$					
$t=-61/18$					

است. براساس نتایج تجزیه واریانس رگرسیون، فرضیه نامناسب بودن مدل خطی در برآش مدل رگرسیونی با اطمینان ۹۹ درصد رد می‌شود ($P<0.01$ و $F=14.09$) (جدول ۶). نتیجه آزمون ضرایب رگرسیون و عرض از مبدأ مدل در جدول ۶ آمده است. نتیجه آزمون تکنمونه‌ای کولموگروف- اسمیرنوف نشان‌دهنده نرمال بودن توزیع خطاهای (باقیمانده‌ها) است ($P=0.656$).

- مدل پیشنهادی برای جهت غربی

در مدل پیشنهادی برای جنگلهای غربی، متغیرهای مستقل شامل شاخص گیاهی PVI=PVI=sin(σ NIR-cos(σ R) که σ شیب خط خاک است، باند مادون قرمز نزدیک (B3) و شاخص گیاهی (NIR-R) AVI می‌باشند. ضریب تبیین اصلاح شده بین ریشه دوم تعداد در هکتار و متغیرهای مذکور، ۰/۴۲

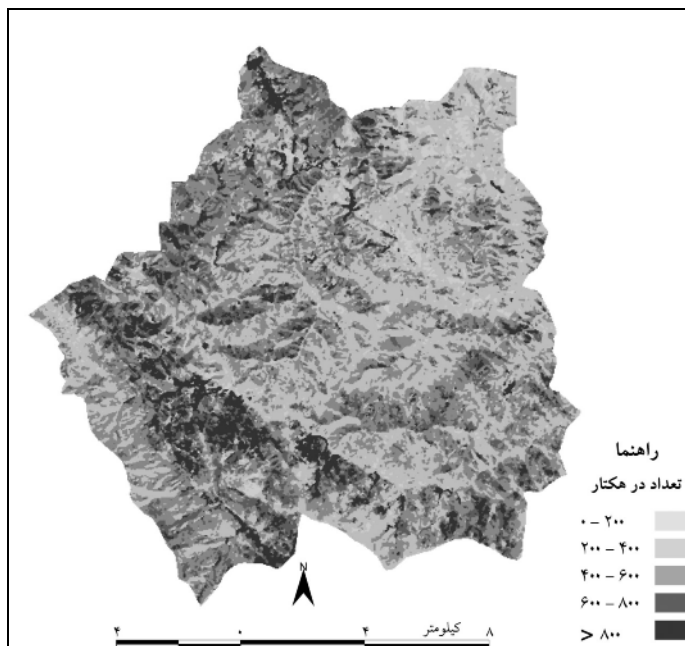
جدول ۶- ضرایب رگرسیونی و خطای معیار مدل پیشنهادی برای جنگلهای غربی

ضرایب مدل	برآورد ضرایب	SE	t	P	Beta
b_0	۵۶/۳۱	۷/۹۹۲	۷/۰۴۶	<0.01	-
b_1	-۰/۷۴۱	۰/۱۱۶	-۶/۳۸۲	<0.01	-۰/۹۱۵
b_2	-۰/۲۱۸	۰/۰۵۶	-۳/۸۶۶	<0.01	-۰/۰۵۳
b_3	-۰/۷۹۵	۰/۳۴۵	-۲/۳۰۳	<0.05	-۰/۲۵۸
$SQRT(N) = b_0 + b_1 PVI + b_2 B3 + b_3 AVI$					
$F=14.09 \quad P<0.01 \quad MSE=14.57 \quad R^2_{adj}=0.42 \quad n=56$					
$RMSE=13.5 \text{ tree/ha} \quad RMSE_t=0.43/2 \quad Bias=-1.4 \text{ tree/ha} \quad Bias=-0.4/3.2$					
$t=-54/45$					

مشخص شده‌اند دارای تراکم بیشتر و مناطقی که با رنگ روشن‌تر مشخص شده‌اند دارای تراکم کمتری می‌باشند. در شکل ۲ نقشه تراکم درختان کل منطقه (بدون تفکیک جهت جغرافیایی) نشان داده شده است.

تهیه نقشه تراکم درختان

نقشه تراکم درختان با استفاده از مدل رگرسیونی انتخاب شده برای کل منطقه و نیز به تفکیک برای چهار جهت جغرافیایی تهیه شد. مناطقی که با رنگ تیره‌تر



شکل ۲- نقشه تراکم درختان (تعداد در هکتار) کل منطقه، حاصل از تصویر ماهواره‌ای SPOT5

(2010) با استفاده از داده‌های سنجنده Aster، مدلی با ضریب تبیین 0.75 و $RMSE = 168$ برای برآورد تراکم درختان ارائه نمودند. ضریب تبیین کمتر حاصل شده در این تحقیق به علت تراکم کمتر تاج پوشش درختان و در نتیجه انعکاس طیفی کمتر در محدوده باندهای قرمز و مادون قرمز نزدیک است (Danson & Curran, 1993). با وجود تراکم زیاد درختان در منطقه، بیشتر درختان دارای ابعاد کوچکی هستند و به دلیل سرشاخه‌زنی در منطقه تاج پوشش نیز ناچیز می‌باشد. بنابراین DN ثبت شده تنها نتیجه بازتاب تاج پوشش نیست، بلکه تحت تأثیر عوامل دیگر نیز قرار می‌گیرد.

Donoghue & Watt (2002) در تحقیق خود به منظور برآورد مشخصه‌های توده با استفاده از داده‌های

بحث

در این تحقیق رابطه بین انعکاس طیفی ثبت شده در باندهای سنجنده HRG ماهواره SPOT5 و مشخصه تراکم جنگل (تعداد در هکتار)، مورد بررسی قرار گرفت. متغیرهای مستقل تشکیل دهنده بهترین مدل رگرسیونی برای کل منطقه (0.76 و $R^2_{adj} = 0.232$)، شامل باند قرمز سنجنده به همراه مؤلفه دوم حاصل از تحلیل PCA بر روی ۴ باند اصلی بود. تحقیقات مشابه Sivanpillai *et al.* و Mohammadi & Shataee (2007) (2006) که با استفاده از داده‌های سنجنده ETM+ انجام شد، به ترتیب با 0.773 و $R^2_{adj} = 0.7013$ و $RMSE = 312/15$ ، حکایت از برآورد بهتر مشخصه تعداد در هکتار داشته است. Gebreslasie *et al.*

افزودن داده‌های کمکی ارتفاع، شب و جهت جغرافیایی به عنوان متغیرهای مستقل تأثیری در بهبود نتایج مدل نداشت. علت این امر را می‌توان در عدم تأثیر معنی‌دار این مشخصه‌ها در تراکم درختان در منطقه و همچنین بر روی انرژی انعکاس یافته از پدیده‌ها دانست. عزیزی (۱۳۸۷) نیز به نتیجه مشابهی دست یافت. Mohammadi & Shataee (2007) به نقش مثبت افزودن داده کمکی شب در بهبود نتایج اشاره داشته‌اند. ارائه مدل‌های رگرسیونی جداگانه برای چهار جهت اصلی جغرافیایی، بیان کننده تغییر در دقت برآورد می‌باشد، به‌طوری که در میزان ضریب تبیین اصلاح شده مدل مربوط به جهت غربی، افزایش قابل توجه ۱۶ درصد حاصل شد. ضریب تبیین اصلاح شده در جهت‌های جنوبی و شمالی نیز نسبت به حالت کلی به ترتیب ۸ و ۵ درصد افزایش یافته‌است که علت را می‌توان در همگنی بیشتر توده‌ها در جهات مختلف جغرافیایی دانست. خرمی و همکاران (۱۳۸۶) نیز به منظور حذف اثر جهت، مطالعه خود را فقط در تیپ راش خالص و در جهت شمالی انجام دادند.

کم بودن ضرایب تبیین مدل‌ها، نشان‌دهنده این واقعیت است که سایر مشخصه‌ها (بازتابش خاک و...) سهم زیادی از بازتابش را به‌خود اختصاص داده و به‌شدت برآورد این مشخصه را تحت تأثیر قرار می‌دهند. بنابراین برای برآورد بهتر مشخصه تعداد در هکتار باید راهکارهای جدیدتری را جستجو نمود.

منابع مورد استفاده

- ارزانی، ح.، ۱۳۷۶. کاربرد اطلاعات رقومی ماهواره لندست در تخمین تولید و پوشش گیاهی. مجله منابع طبیعی ایران، ۵۰ (۱): ۲۱-۳.
- حسینی، س.ز.، ۱۳۸۱. بررسی قابلیت داده‌های ETM جهت تهیه نقشه کاربری اراضی. پایان‌نامه کارشناسی ارشد مرتعداری، دانشگاه تهران، ۱۲۵ صفحه.

SPOT4 و ETM+ به نتایج قابل قبولی برای برآورد تعداد در هکتار دست نیافتند.

باندهای قرمز، مادون قرمز نزدیک و یا نسبتی از آنها نقش مهمی در بهبود نتایج ارائه نمودند. در تحقیقات Vohland (2007)؛ Sivanpillai *et al.* (2006)؛ Jakubauskas & Price (1997) نیز باندهای مادون قرمز برآورد بهتری از تعداد در هکتار ارائه کردند. افزودن باندهای حاصل از تجزیه مؤلفه‌های اصلی در این تحقیق، سبب بهبود نتایج این تحقیق شده است. نتایج حاصل از تحقیق Sivanpillai *et al.* (2006) نیز مؤید این مطلب است. وارد شدن شاخص‌های گیاهی به مدل در جهت‌های شمالی، جنوبی و غربی، استفاده از این شاخص‌ها را در این گونه مطالعات مورد تأکید قرار می‌دهد (ناصری و همکاران، ۱۳۸۳؛ علوی‌پناه، ۱۳۸۵؛ ارزانی، ۱۳۷۶؛ درویش‌صفت و همکاران، ۱۳۸۲). حسینی (۱۳۸۱) و مرادی (۱۳۸۸) در استفاده از شاخص‌های گیاهی نتایج ضعیفی بدست آوردند. در این بررسی استفاده از رگرسیون چندمتغیره سبب بهبود نتایج شده است. ناصری و همکاران (۱۳۸۳)، خرمی و همکاران (۱۳۸۶)، حسینی (۱۳۸۱) و Xu *et al.* (2003) نیز این مسئله را بیان کرده‌اند. اعمال تبدیلات ریاضی (لگاریتم، توان، ریشه دوم، معکوس) بر روی متغیر تابع (تراکم درخت) و بررسی روابط متغیرهای جدید با متغیرهای مستقل (ارزش‌های طیفی متناظر قطعات نمونه زمینی در باندهای اصلی و مصنوعی مختلف)، نشان دهنده افزایش میزان ضرایب همبستگی بوده است؛ به گونه‌ای که بیشترین ضرایب همبستگی بین ریشه دوم مشخصه تعداد در هکتار با متغیرهای مستقل بدست آمد. خرمی و همکاران (۱۳۸۶)، عزیزی (۱۳۸۷)، Xu *et al.* (2003) (۱۳۸۷)، Donoghue & Watt (2002) و Ripple *et al.* (1991) با اعمال تابع لگاریتم بر روی متغیر پیشگویی کننده نتایج بهتری را بدست آوردند.

- Project, Final reports. http://www.geography.dur.ac.uk/research/bnsc_cpp/bnsc_cpp.html
- Franklin, J., 1986. Thematic mapper analysis of coniferous forest structure and composition. *Int. J. of Remote Sens.*, 7 (10): 1287-1301.
 - Gebreslasie, M.T., Ahmed, F.B. and Van Aardt, J.A.N., 2010. Predicting forest structural attributes using ancillary data and ASTER satellite data. *International Journal of Applied Earth Observation and Geoinformation*, 12 (1): 23-26.
 - Hudak, T., Crookston, N.L., Evans, J.S., Falkowski, M.J., Smith, A.M.S., Gessler, P.E. and Morgan, P., 2006. Regression modeling and mapping of coniferous forest basal area and tree density from discrete-return lidar and multispectral satellite data. *Can. J. Remote Sens.*, 32 (2): 126-138.
 - Jakubauskas, M.E. and Price, K.P., 1997. Empirical relationships between biotic and spectral factors of Yellowstone lodgepole pine forests. *Photogrammetric Engineering and Remote Sensing*, 63 (12): 1375-1381.
 - Lu, D., Mausel, P., Brondizio, E. and Moran, E., 2004. Relationships between forest stand parameters and landsat TM spectral responses in the Brazilian Amazon Basin. *For. Ecol. Manage.*, 198: 149-167.
 - McRoberts, R., 2008. Using satellite imagery and the k-nearest neighbors technique as a bridge between strategic and management forest inventories. *Remote Sens. of Environ.*, 112: 2212-2221.
 - Mohammadi, J. and Shataee, Sh., 2007. Forest stand density mapping using Landsat ETM+ data, Loveh's forests, North of Iran. *Proceedings of Asian association on remote sensing (ACRS)*, Kualalampour, Malaysia, 7 p.
 - Ripple W.J., Wang, S., Isaacson, D.L. and Paine, D.P., 1991. A preliminary comparison of Landsat TM and Spot-1 HRV multi spectral data for estimating coniferous forest volume. *Int. J. of Remote sens.*, 12 (9): 1971-1977.
 - Sivanpillai, R., Smith, C.T., Srinivasan, R., Messina, M.G. and Ben Wu, X., 2006. Estimation of managed loblolly pine stand age and density with Landsat ETM+ data. *For. Ecol. and Manage.*, 223: 247-254.
 - Trotter, C.M., Dymond, J.R. and Goulding, C.J., 1997. Estimation of timber volume in a coniferous plantation forest using Landsat TM. *Int. J. Remote Sens.*, 18: 2209-2223.
 - Vohland, M., Stoffels, J., Hau, Ch. and Schueler, G., 2007. Remote sensing techniques for forest parameter assessment: Multispectral classification and linear spectral mixture analysis. *Silva Fennica*, 41 (3): 441-455.
 - Wulf, R.R., Goossens, R.E. and Roover, B.P., 1990. Extraction of forest stand parameters from panchromatic and multispectral Spot-1 data. *Int. J. of Remote Sense.*, 11 (9): 1571-1588.
 - Xu, B., Gong, P. and Pu, R., 2003. Crown closure estimation of oak Savanah in a dry season with Landsat TM imagery: comparison of various indices through correlation analysis. *Int. J. Remote sens.*, 24 (9): 1811-1822.
 - خرمی، ر.، درویش صفت، ع. و نمیرانیان، م.، ۱۳۸۶. بررسی قابلیت داده‌های سنجنده ETM+ ماهواره لندست ۷ در برآورد موجودی سرپایی توده‌های راش (مطالعه موردی: جنگلهای سنگده). *مجله منابع طبیعی ایران*, ۶۰ (۴): ۱۲۸۱-۱۲۸۹
 - درویش صفت، ع.، پویافر، ا. و سرداری، ف.، ۱۳۸۲. بررسی امکان تعیین تراکم توده‌های تاغ با استفاده از تصاویر ماهواره‌ای. اولین همایش تاغ و تاغکاری در ایران: ۴۶-۵۲
 - رضائی، ع. و سلطانی، ا.، ۱۳۷۷. مقدمه‌ای بر تحلیل رگرسیون کاربردی. مرکز نشر دانشگاه صنعتی اصفهان، ۲۹۴ صفحه.
 - عزیزی، ز.، ۱۳۸۷. ارزیابی برآورد حجم سرپایی جنگل و تغییرات آن در اثر احداث جاده‌های جنگلی با استفاده از تصاویر IRS. *پایان‌نامه کارشناسی ارشد جنگل‌داری*, دانشکده منابع طبیعی، دانشگاه تربیت مدرس، ۵۷ صفحه.
 - علوی‌پناه، س.ک.، ۱۳۸۵. کاربرد سنجش از دور در علوم زمین (خاک). *انتشارات دانشگاه تهران*, ۳۰۰ صفحه.
 - فتاحی، م.، ۱۳۷۳. بررسی جنگلهای بلوط زاگرس و مهمترین عوامل تحریب آن. *مؤسسه تحقیقات جنگلهای مراعع کشور*, نسخه شماره ۱۰۱، ۶۳ صفحه.
 - مرادی، ر.، ۱۳۸۸. بررسی ساختار و بررسی تغییرات گستره جنگل در زاگرس شمالی با استفاده از تصاویر ماهواره‌ای SPOT5 (مطالعه موردی: جنگلهای بانه). *پایان‌نامه کارشناسی ارشد جنگل‌داری*, دانشکده منابع طبیعی، دانشگاه کردستان، ۸۹ صفحه.
 - ناصری، ف.، درویش صفت، ع.ا.، سبحانی، ه. و نمیرانیان، م.، ۱۳۸۳. ارزیابی داده‌های لندست ۷ برای برآورد نقشه تراکم جنگل در نواحی خشک و نیمه‌خشک. *مجله منابع طبیعی*, ۵۷ (۱): ۱۱۹-۱۰۹.
 - Andersen, G.L., 1998. Classification and estimation of forest and vegetation variables in optical high resolution satellites: A review of methodologies. *Interim Report, international institute for applied systems analysis, IR-98-085*, 18 p.
 - Danson, F.M. and Curran, P.J., 1993. Factors affecting the remotely sensed response of coniferous forest plantations. *Remote Sens. Environ.*, 43: 55-65.
 - Donoghue, D. and Watt, P., 2002. Monitoring of woodland establishment and growth for the UK forest industry. *BNSC Customer Partnership*

Evaluation of the capability of SPOT5-HRG data for predicting tree density in the northern Zagros forests

M. Pir Bavaghar ^{1*}, L. Ghahramani ² and P. Fatehi ³

1*- Corresponding author, Assistant professor, Faculty of Natural Resources, University of Kurdistan, Sanandaj, Iran.
E-mail: mahtab_bavaghar@yahoo.com

2- Assistant Prof., Faculty of Natural Resources, University of Kurdistan, Sanandaj, Iran.

3- Senior research expert, Research Center of Agriculture and Natural Resources of Kurdistan province, Sanandaj, Iran.

Received: 23.02.2010 Accepted: 17.12.2010

Abstract

Quantitative attributes of forest stands are valuable data that are very important for the evaluation of forest resources. Regarding to unique structure of Zagros forests, we tried to predict tree density using SPOT5-HRG satellite data in this study. A systematic random grid consisting of 319 circle plots (0.1 ha) were used to collect field data. Spectral values related to field plots were extracted from original and the artificial bands composed of vegetation indices and principle component analysis. Ancillary data such as slope, aspect and elevation were also used. Multiple regression and stepwise method were used to predict tree density from 4 original spectral bands and 16 artificial bands as independent variables. Ancillary data didn't improve the results. For considering geographic aspects effects, the study also was done for different aspects, separately. In the general model, predictive variables were PCAC2 (the 2nd component of PCA) and B2 (Red band) with the adjusted coefficient of determination of 0.26%. In the suggested models for the northern, southern, eastern and western forests, independent variables are PCAC2, Ratio; PCAC2, AVI; B1 and PVI, AVI, B3, with the adjusted coefficient of determination of 31%, 34%, 19% and 42%, respectively. The Results of model validation tests showed that all of the presented equations had a reliable validation and are useful for this area, however, for better estimation of tree density, we should find the other approaches.

Key words: Tree density, SPOT5, multiple regression, northern Zagros forests.